

# Когерентный лазер на двухъямной структуре

© В.Ф. Елесин, А.В. Цуканов

Московский государственный инженерно-физический институт (Технический университет),  
115409 Москва, Россия

(Получена 6 марта 2000 г. Принята к печати 17 мая 2000 г.)

Развита теория стационарной одномодовой генерации когерентного каскадного лазера на двух квантовых ямах. Найдены мощность и частота генерации в зависимости от тока когерентной накачки и параметров структуры. Показано, что режим автоподстройки существует и в двухъямной структуре, это обеспечивает эффективную генерацию и линейный ход возрастания мощности при увеличении тока накачки.

1. Спустя почти двадцать лет после предложения Казаринова и Суриса [1] новый тип полупроводникового лазера — квантовый каскадный лазер (ККЛ) — был создан Капассо с сотрудниками [2]. Лазер работал на диагональных переходах между уровнями в соседних ямах. В работах [3] и [4], посвященных теории ККЛ, была рассмотрена модель с вертикальными переходами в одной яме. Как оказалось, лазер на вертикальных переходах обладает определенными достоинствами (см. также [5]). Однако в квантовой яме возможна генерация, принципиально отличающаяся от генерации в ККЛ. Такой когерентный лазер был предложен в [6]. В работе [6] была построена теория когерентной генерации на одной квантовой яме (квантовой точке). В частности, найдена мощность и частота электромагнитного поля в зависимости от тока когерентной накачки и параметров системы. В [6] была рассмотрена простая модель допускающая аналитическое решение для широкого интервала полей. Исследование процессов генерации в асимметричной двухъямной структуре проведено в рамках данной модели [7]. Когерентная генерация имеет ряд особенностей: нет необходимости в инверсной населенности; режим подстройки обеспечивает высокую эффективность и др. Возникает вопрос — возможна ли эффективная когерентная генерация с подстройкой для двух и более ям. Цель настоящей работы — развить теорию когерентной генерации для двух ям.

2. Для установления основных закономерностей изучим следующую модель когерентного ККЛ (КЛ). На рис. 1 изображена одномерная структура, образованная тремя  $\delta$ -барьерами в точках  $x = 0, x = a$  и  $x = 2a$ . В каждой из ям предполагается существование двух уровней. Потенциальный рельеф данной структуры имеет форму ступени, причем ее высота подобрана таким образом, что нижний уровень в первой яме совпадает с верхним уровнем во второй яме. Энергии этих уровней отличаются на величину, соответствующую частоте электромагнитного поля  $\omega$ . Слева на систему падает стационарный поток электронов с плотностью, пропорциональной  $q^2$ , и энергией, приблизительно равной энергии  $E_1$  верхнего уровня в первой яме. Электромагнитное поле, которое с хорошей точностью можно считать классическим, изучается при переходе электронов с верхнего уровня на

нижний в каждой из ям:

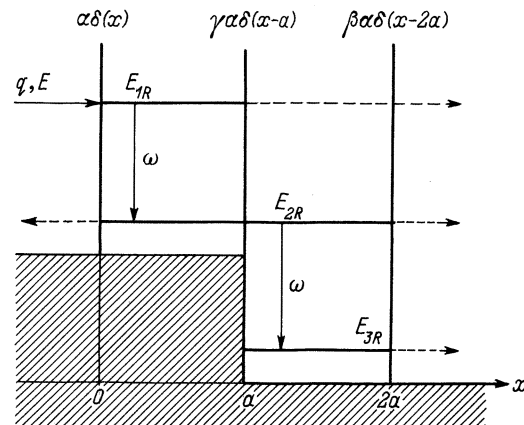
$$E_x(z, t) = E(t) \sin kz \cdot \cos(\omega t + \varphi(t)). \quad (1)$$

Поле поляризовано перпендикулярно плоскости ямы (т.е. по оси  $x$ ), а волновой вектор направлен вдоль плоскости (по оси  $z$ ).

В одномодовом стационарном режиме уравнения для поля  $E$  имеют вид

$$\left. \begin{aligned} \frac{E}{2\tau_0} &= -\frac{2\pi}{\varkappa} J_c(k), \\ (\omega - \Omega)E &= -\frac{2\pi}{\varkappa} J_s(k), \\ J_{c,s}(k) &= \int_0^a dx \cdot \exp(ikx) J_{c,s}(x), \end{aligned} \right\}, \quad (2)$$

где  $J_{c,s}(k)$  — фурье-компоненты токов поляризации, совпадающие по фазе с полем ( $c$ ) и сдвинутые на  $\pi/2$  ( $s$ ), описывающие межуровневые переходы;  $\tau_0$  — время жизни фотона в резонаторе,  $\Omega$  — собственная частота резонатора,  $\varkappa$  — диэлектрическая постоянная.



**Рис. 1.** Схема процесса генерации излучения в симметричной двухъямной структуре, образованной тремя  $\delta$ -барьерами и ступенчатым потенциальным рельефом. Поток электронов с плотностью, пропорциональной  $q^2$ , и энергией, приблизительно равной энергии уровня накачки  $E_1$ , падает на структуру слева. Электроны совершают излучательный переход на уровень  $E_2^{+(-)}$ , затем туннелируют во вторую яму и совершают переход на уровень  $E_3$ , после чего покидают структуру.

Токи поляризации выражаются через волновую функцию системы  $\Psi(x, t)$ , которая удовлетворяет следующему уравнению:

$$\frac{i2m^*}{\hbar} \frac{\partial \Psi}{\partial t} = -\frac{\partial^2 \Psi}{\partial x^2} + U(x)\Psi + V(x, t)\Psi, \quad (3)$$

где  $m^*$  — эффективная масса электрона,

$$U(x) = \alpha[\delta(x) + \gamma\delta(x-a) + \beta\delta(x-2a)] + \tilde{\omega}[1 - \Theta(x-a)]$$

— потенциальная энергия барьеров ( $\gamma, \beta$  — относительные мощности барьеров),

$$V\Psi = V(\exp(i\omega t) - \exp(-i\omega t))\frac{\partial \Psi}{\partial x}, \quad V = -\frac{eE}{\hbar\omega}$$

— взаимодействие с электромагнитным полем (далее везде  $\hbar = c = 1$ ).

Установившееся решение (3) находим, ограничиваясь резонансным вкладом во взаимодействие электронов с электромагнитным полем:

$$\Psi(x, t) = \begin{cases} [q \exp(ipx) + D_0 \exp(-ipx)] \times \exp(-iEt) + D_{-1} \times \exp(-i(E-\omega)t - ip_-x), & x < 0, \\ \Psi_0(x) \exp(-iEt) + \Psi_{-1}(x) \times \exp(-i(E-\omega)t), & 0 < x < a, \\ \tilde{\Psi}_0(x) \exp(-i(E-\omega)t) + \tilde{\Psi}_{-1}(x) \exp(-i(E-2\omega)t), & a < x < 2a, \\ C_0 \exp(-i(E-\omega)t + ip(x-2a)) + C_{-1} \exp(-i(E-2\omega)t + ip_-(x-2a)), & x > 2a. \end{cases} \quad (4)$$

Здесь

$$p = \begin{cases} \sqrt{E - \tilde{\omega}}, & k = 1 \\ \sqrt{E - \omega}, & k = 2 \end{cases}, \quad p_- = \begin{cases} \sqrt{E - (\tilde{\omega} + \omega)}, & k = 1 \\ \sqrt{E - 2\omega}, & k = 2 \end{cases}.$$

— импульсы электрона на верхних и нижних уровнях в каждой из ям ( $k$  — номер ямы). Мы учитываем, что высота ступени равна  $\tilde{\omega}$ , а энергетический параметр  $E$  отсчитывается от  $U = 0$ .

Функции  $\Psi_0, \Psi_{-1}, \tilde{\Psi}_0, \tilde{\Psi}_{-1}$  удовлетворяют системе уравнений

$$\left. \begin{aligned} \Psi_0'' + p^2 \Psi_0 &= -V \Psi_{-1}' \\ \Psi_{-1}'' + p_{-1}^2 \Psi_{-1} &= V \Psi_0' \end{aligned} \right\}. \quad (5)$$

С помощью (4) выражения для токов  $J_c(x)$  и  $J_s(x)$  представим через волновые функции в ямах:

$$J_c(x) = -\frac{ie}{2m^*} [\Psi_0^* \Psi_{-1}' + \Psi_{-1}^* \Psi_0' - k.c.], \quad J_s(x) = \frac{e}{2m^*} [\Psi_{-1}^* \Psi_0' - \Psi_0^* \Psi_{-1}' + k.c.]. \quad (6)$$

Решение системы (5) можно искать в виде

$$\Psi_n(x) = A_n \exp \delta x, \quad \tilde{\Psi}_n(x) = \tilde{A}_n \exp \delta(x-a), \quad (7)$$

где  $n = 0, -1$ .

Коэффициенты при волновых функциях определяем из граничных условий, получающихся из требования непрерывности функций, и условий, накладываемых на производные (см. [6]). Подставляя найденные волновые функции в выражения для токов, находим после некоторых вычислений уравнения для поля и частоты генерации:

$$1 = \frac{\tilde{Q}\Gamma_1}{|\tilde{\Delta}(\lambda)|^2} \left\{ (\delta E_3^2 + \Gamma_3^2) (\delta E_2^+ \Gamma_2^- + \delta E_2^- \Gamma_2^+) \times \frac{\gamma \alpha^2 a}{2p^3} + \left( \sin pa + \frac{p}{\alpha} \frac{\gamma + \beta}{\gamma \beta} \right) + \frac{\lambda^2 \Gamma_3}{4} \right\},$$

$$\omega - \Omega = \frac{\tilde{Q}\Gamma_1}{2\tau_0 |\tilde{\Delta}(\lambda)|^2} \left\{ (\delta E_3^2 + \Gamma_3^2) \delta E_2^+ \delta E_2^- \times \frac{\gamma \alpha^2 a}{2p^3} \left( \sin pa + \frac{p}{\alpha} \frac{\gamma + \beta}{\gamma \beta} \right) + \frac{\lambda^2 \delta E_3}{4} \right\}, \quad (8)$$

где

$$\delta E_1 = E - E_1, \quad \delta E_2^\pm = E - \omega - E_2^\pm, \quad \delta E_3 = E - 2\omega - E_3;$$

$$\tilde{\Delta}(\lambda) = (\delta E_1 + i\Gamma_1)(\delta E_2^+ + i\Gamma_2^+)(\delta E_2^- + i\Gamma_2^-) \times (\delta E_3 + i\Gamma_3) \frac{\alpha a}{2p^2} - \lambda^2 \left[ (\delta E_3 + i\Gamma_3) \frac{\gamma \alpha}{p} \times \left( \sin pa + \frac{p}{\alpha} \frac{\gamma + \beta}{\gamma \beta} \right) + \frac{p_- \gamma \alpha}{p^2} \times (\delta E_1 + i\Gamma_1) \left( \frac{p_-}{\alpha} \frac{1 + \gamma}{\gamma} - \sin p_- a \right) \right], \quad (9)$$

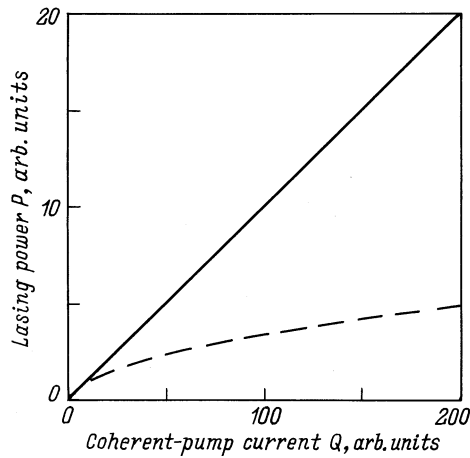
$$p_- = \sqrt{E - (\tilde{\omega} + \omega)}, \quad p = \sqrt{E - \omega},$$

а приведенный ток накачки имеет вид

$$\tilde{Q} = \frac{4\pi\tau_0\eta}{z} Q, \quad Q = \frac{q^2 p}{m^*}, \quad \eta = \frac{(16ep p_-)^2}{\omega^3 a^3}. \quad (10)$$

(Уровень, соответствующий энергии  $E_2$ , является расщепленным; величины, относящиеся к верхнему и нижнему расщепленным уровням, обозначены ”+” и ”-” соответственно).

Приведенная мощность генерации равна  $\lambda^2 = \frac{16pp_- \tilde{V}^2}{a^2}$  и удовлетворяет следующему условию:  $\tilde{V}^2 = \frac{2p_-^2 V^2}{\omega^2} \ll 1$ .



**Рис. 2.** Графики зависимости мощности генерации (на единицу длины)  $P = \lambda^2$  от тока накачки  $Q$  для одноямной структуры в отсутствие автоподстройки ( $\xi = 0$ , штриховая линия) и при наличии автоподстройки ( $\xi \neq 0$ , сплошная линия).

Ширины электронных уровней даются формулами

$$\Gamma_1 = \frac{2p^3}{\alpha^2 a}, \quad \Gamma_2^\pm = 0.5\Gamma_1 \left\{ k_0^3 + \beta^{-2} \pm (k_0^3 - \beta^{-2}) \times \left( 1 + [\gamma\beta^{-1} + 1 - k_0^2(1 + \gamma)]^{-1} \right)^{-0.5} \right\},$$

$$\Gamma_3 = \Gamma_1 k_0^3 \beta^{-2}, \quad k_0 = p_- / p.$$

3. Предположим, что электроны, поступающие на верхний уровень в первой яме, имеют энергию, приблизительно равную  $E_1$ . Когерентная генерация в каждой из ям в режиме резонансного туннелирования электронов имеет место при условии равенства частоты ЭМП, наложенного на структуру, и частот переходов между рабочими уровнями  $\omega = \omega_{12} = \omega_{23}$ . (Это может быть достигнуто надлежащим выбором параметра  $\tilde{\omega}$ ). Данное условие подразумевает выполнение неравенства  $|\frac{1}{\beta} - 1| > \frac{4}{3}\frac{1}{\gamma}$ . В том случае, когда  $\beta < 1$ , генерация осуществляется по верхнему расщепленному уровню  $E_2^+$ , в случае  $\beta > 1$  — по нижнему. Из уравнений (8) находим выражение для порогового тока ( $\lambda^2 = 0$ ):

$$\tilde{Q}_{th} = \frac{4\tilde{\Gamma}_2^\pm}{1 \pm \sqrt{1 - k^{-1}}} \quad (11)$$

(см. подробнее [8]). В этом случае зависимость мощности генерации  $P = \lambda^2$  от тока накачки имеет нелинейный характер, проявляя тенденцию к насыщению.

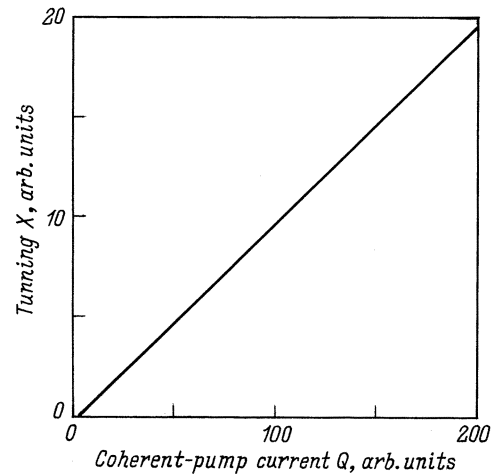
Принципиально иная схема генерации реализуется в случае, когда энергия налетающих электронов отличается от резонансной на некоторую величину  $\xi$ . В случае генерации в одномерной структуре [6] такой режим приводит к многократному увеличению мощности излучения (рис. 2). Уравнение (8) для мощности принимает

вид

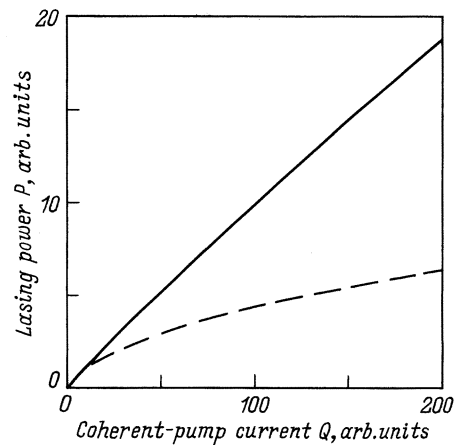
$$1 = \frac{0.125\tilde{Q}}{|\tilde{\Delta}^\pm(\tilde{\lambda})|^2} \left\{ 2\tilde{\Gamma}_2^\pm (\tilde{\xi}^2 + \tilde{\Gamma}_3^2) \times \left( 1 \pm \sqrt{1 - k^{-1}} \right) + \tilde{\lambda}^2 k^{-1} \tilde{\Gamma}_3 \right\},$$

$$\tilde{\Delta}^\pm(\tilde{\lambda}) = (\tilde{\xi} + i)(\tilde{\xi} + i\tilde{\Gamma}_2^\pm)(\tilde{\xi} + i\tilde{\Gamma}_3) - \tilde{\lambda}^2 \times \left[ \tilde{\xi} + i\frac{\tilde{\Gamma}_3 + 1}{2} + i\frac{\tilde{\Gamma}_3 - 1}{2}\sqrt{1 - k^{-1}} \right], \quad (12)$$

где  $k = (1 - \frac{p_-^2}{p^2})^2 (\gamma/\beta - \gamma)^2$  (все величины взяты в единицах  $\Gamma_1$ ). Как показывают вычисления, при надлежащем выборе зависимости подстройки  $\xi^2$  от накачки  $Q$  (см. рис. 3) зависимость  $\lambda^2(Q)$  становится линейной и существенно превосходит режим с  $\xi = 0$ . На рис. 4 приведены графики для структуры с  $\tilde{\Gamma}_2^+ = 0.5$ ,  $\tilde{\Gamma}_3 = 5$ . Целесообразно выбирать уширение второго



**Рис. 3.** График зависимости автоподстройки  $X = \xi^2$  от тока накачки  $Q$  для двухямной структуры.



**Рис. 4.** Графики зависимости мощности генерации (на единицу длины)  $P = \lambda^2$  от тока накачки  $Q$  для двухямной структуры в отсутствие автоподстройки ( $\xi = 0$ , штриховая линия) и при наличии автоподстройки ( $\xi \neq 0$ , сплошная линия).

уровня меньше, чем уширение первого уровня (уровня накачки), так как это обеспечивает понижение порогового тока и уменьшает отток электронов в область  $x < 0$ . Уширение третьего уровня, напротив, следует выбирать бóльшим, чем уширение первого, поскольку это способствует туннелированию электронов во вторую яму и в область  $x > 2a$  после совершения излучательного перехода на третий уровень.

Проведем сравнение режимов генерации для одно- и двухъямных структур. Как видно из рис. 2 и 4, зависимости мощности (на единицу длины) от тока накачки для данных структур практически совпадают. Это позволяет нам сделать вывод, что в двухъямной структуре мощность генерации будет в 2 раза больше, чем в одноямной, т.е. две ямы работают когерентно. Таким образом, возможен когерентный режим с подстройкой и для двух квантовых ям.

Работа выполнена в рамках программы "Физика твердотельных наноструктур" Министерства науки и технологий РФ (проект № 99-1140) и Федеральной целевой программы "Интеграция" (проект № А0133).

## Список литературы

- [1] Р. Казаринов, Р. Сурис. ФТП, **6**, 120 (1972).
- [2] J. Faist, F. Capasso, D.L. Sivco. Science, **264**, 553 (1994).
- [3] V.F. Elesin, Yu.V. Kopaev. Sol. St. Commun., **96**, 987 (1995).
- [4] В.Ф. Елесин, Ю.В. Копаев. ЖЭТФ, **108**, 2186 (1995).
- [5] J. Faist, F. Capasso, C. Sirtori. Appl. Phys. Lett., **66**, 538 (1995).
- [6] В.Ф. Елесин. ЖЭТФ, **112**, 483 (1997).
- [7] В.Ф. Елесин, В.В. Капаев, Ю.В. Копаев, А.В. Цуканов. Письма ЖЭТФ, **66**, 11 (1997).
- [8] В.Ф. Елесин, А.В. Цуканов. Препринт МИФИ, 004-99.

*Редактор В.В. Чалдышев*

## A double-well coherent laser

V.F. Elesin, A.V. Tsukanov

Moscow State Engineering-Physics Institute  
(Technical University),  
115409 Moscow, Russia

**Abstract** A theory of coherent lasing on a double-well structure under a single-mode stationary regime is suggested. The lasing power and frequency of generation as functions of the coherent-pump current and structural parameters are found. There exists an optimal lasing regime with the energy tuning without the population inversion. It has been shown that the lasing power is a linear function of the coherent-pump current.